

## บทที่ 2

### เอกสารและงานวิจัยที่เกี่ยวข้อง

#### 2.1 ความรู้ทั่วไปเกี่ยวกับรังสี [14]

##### 2.1.1 ชนิดของรังสี

รังสี (Radiation) คือพลังงานที่แผ่ออกมายจากต้นกำเนิดในรูปของคลื่นแม่เหล็กไฟฟ้าหรือในลักษณะของอนุภาค อาจจำแนกได้เป็น

1) รังสีในลักษณะของคลื่นแม่เหล็กไฟฟ้า (Electromagnetic radiation)

ประกอบด้วย คลื่นวิทยุ ในคลื่นวิทยุ อินฟารेड แสงสว่าง อัลตราไวโอเลต รังสีเอกซ์ รังสีแกมมา และ รังสีคอสมิก

2) รังสีที่เป็นกระแสของอนุภาคความเร็วสูง (Sub-atomic particle radiation)

ประกอบด้วย แอลพ่า บีต้า และนิวตรอน

เราอาจจำแนกรังสีตามความสามารถในการทำอันตรกิริยา (Interaction) กับสารอีกได้เป็น 2 ชนิด คือ

1. รังสีที่ไม่เกิดไอนิโซน (Non-ionizing radiation) เช่น คลื่นวิทยุ ในคลื่นวิทยุ อินฟารेड แสงสว่าง และอัลตราไวโอเลต

2. รังสีที่เกิดไอนิโซน (Ionizing radiation) เช่น รังสีเอกซ์ รังสีแกมมา รังสีคอสมิก รังสีแอลพ่า รังสีบีต้า และนิวตรอน เป็นต้น

##### 2.1.2 การจำแนกต้นกำเนิดรังสี จำแนกเป็น 2 ประเภท คือ

1) รังสีที่เกิดเองตามธรรมชาติ รังสีคอสมิก (Cosmic radiation) รังสีคอสมิกเป็นรังสีที่มาจากความแผลดวงอาทิตย์โดยที่ส่วนประกอบประมาณร้อยละ 90 ของรังสีคอสมิก เป็นอนุภาคโปรตอนที่มีพลังงานสูง รังสีคอสมิกที่มาจากดวงอาทิตย์นี้นั้นเกิดจากปฏิกิริยาพิวชัน (Fusion reaction) ซึ่งปล่อยรังสีและอนุภาคออกมากจำนวนมาก รังสีคอสมิกที่เกิดจากดวงอาทิตย์ และแฝ่วยังผ่านโลกนี้ แบ่งออกเป็น 2 ชนิด ได้แก่

1.1) รังสีคอสมิกปฐมภูมิ (Primary cosmic radiation) เป็นรังสีที่อยู่เหนือบรรยากาศโลก ประกอบด้วย โปรตอนร้อยละ 79 อนุภาคแอลพ่าว้อยละ 20 และอนุภาคอื่น ๆ ร้อยละ 1

1.2) รังสีคอสมิกทุติยภูมิ (Secondary cosmic radiation) เป็นรังสีที่เกิดขึ้นภายในหลังอันตรกิริยาของรังสีปฐมภูมิกับอะตอมของอากาศ ทำให้อะตอมของอากาศแตกตัวเป็นอนุภาคต่าง ๆ เช่น โปรตอน อิเล็คตรอน เป็นต้น

นอกจากรังสีคอสมิกแล้ว ดินและหินบนพื้นโลกก็ถูก bombard ว่าประกอบด้วยรังสีเรเนียมและ thorium โดยที่ปริมาณของกําตั้งต่าง ๆ เหล่านี้จะมากหรือน้อยก็ขึ้นอยู่กับชนิดของหิน โดยหินแกรนิตจะมีส่วนประกอบของธาตุกัมมันต์รังสีมากกว่าหินปูนและหินทราย

2) สารรังสีที่มนุษย์ประดิษฐ์ขึ้น เช่น สารรังสีที่ประดิษฐ์ขึ้นเพื่อใช้ในการวินิจฉัยโรค สารรังสีที่ใช้ในการรักษา การให้ไอโอดีโนต่าง ๆ ทางการแพทย์ จากการกัมมันตภาพรังสี ผลจาก การทดลองของอุดนิวเคลียร์ เตาปฏิกรณ์ปรมาณู และเครื่องเร่งอนุภาค

รังสีที่ก่อให้เกิดไอก้อนจะเกิดขึ้นและอยู่ล้อมรอบมนุษย์ตลอดเวลา ซึ่งอาจจะมีมากบ้าง หรือน้อยบ้างนั้น ขึ้นอยู่กับสถานที่และลักษณะการปฏิบัติงานต่าง ๆ กัน ในประเทศไทยหรือเมืองอื่น ๆ ได้มีการสรุปค่าความแรงรังสีโดยเฉลี่ยจากต้นกำเนิดรังสีต่าง ๆ ดังตาราง 1

ตาราง 1 ระดับรังสีโดยเฉลี่ยที่มนุษย์ได้รับในรอบปี [15]

ระดับรังสีโดยเฉลี่ยที่มนุษย์ได้รับในรอบปี		
ต้นกำเนิดรังสี	ระดับรังสี (mSv/y)	ร้อยละ
<u>รังสีจากธรรมชาติ</u>		
แก๊สเรดิโอน	02.0	55
รังสีคิโตรนิก	0.27	8
รังสีจากผิวโลก	0.28	8
รังสีจากภายในร่างกาย	0.39	11
รวม	3.00	82
<u>รังสีจากกิจกรรมมนุษย์</u>		
การขายรังสีทางการแพทย์	0.39	11
การใช้งานเวชศาสตร์รังสีเคลื่อนย์ร์	0.14	4
ผลิตภัณฑ์ใช้ในชีวิตปกติ	0.10	3
สถานปฏิบัติงานทางรังสี	0.01	0.30
กระบวนการผลิตเชื้อเพลิงฯ	0.01	0.03
ผู้นักมั่นตั้งรังสี	0.01	0.03
อื่นๆ	0.01	0.03
รวมรังสีจากกิจกรรมมนุษย์	0.63	18
รวมระดับรังสีที่มนุษย์ได้รับ	3.60	100

เนื่องจากรังสีเป็นพลังงานรูปแบบหนึ่ง ดังนั้นมีผลกระทบวัสดุต่าง ๆ และสิ่งที่มีชีวิตก็ยอมเกิดผลกระทบซึ่นได้รังสีที่มีอยู่กับปัจจัยหลายอย่าง ได้แก่ ชนิดของรังสี พลังงานของรังสี ปริมาณของรังสี และชนิดของวัสดุที่รังสีกระทบ [16]

รังสีที่ไม่ก่อให้เกิดไอโอน ส่วนใหญ่ส่งผลกระทบต่อเซลล์ของสิ่งมีชีวิต ในรูปของความร้อน (Thermal effects) ในขณะที่รังสีที่ก่อให้เกิดไอโอนมีผลต่อสิ่งมีชีวิต โดยทำให้อะตอนต่อไม่เลกฤทธิ์ของเซลล์มีการแตกตัวเป็นไอโอนและทำให้มีการเกิดปฏิกิริยาเคมีต่อเนื่องกันไป จนกระทั่งโครงสร้างของเซลล์มีการแตกตัวเป็นไอโอนและทำให้มีการเกิดปฏิกิริยาต่อเนื่องกันไป จนกระทั่งโครงสร้างของเซลล์และระบบการทำงาน ของเซลล์เปลี่ยนแปลงไปด้วยและเกิดอาการผิดปกติในร่างกายซึ่นรังสีแต่ละชนิดนั้นก่อผลกระทบต่อสิ่งมีชีวิต ไม่เหมือนกัน ซึ่งในทางวิชาการได้มีการศึกษาถึงความรุนแรงของผลกระทบดังกล่าว สรุปได้ในตาราง 2

ตาราง 2 ค่าตัวประกอบถ่วงน้ำหนักแสดงอัตราภัยของรังสี [17]

ชนิดของรังสี	ตัวประกอบถ่วงน้ำหนัก
ไฟตอนทุกพลังงาน	1
อิเล็กตรอนและวิวัอนทุกพลังงาน	1
นิวตรอนพลังงานต่ำกว่า 10 KeV	5
นิวตรอนพลังงาน 10 KeV ถึง 100 KeV	10
นิวตรอนพลังงาน 100 KeV ถึง 2 MeV	20
นิวตรอนพลังงาน 2 MeV ถึง 20 MeV	10
นิวตรอนพลังงานสูงกว่า 20 MeV ขึ้นไป	5
โปรตرونพลังงานสูงกว่า 2 MeV	5
แอลฟ่า, ฟีซั่น, แฟร์กเมนท์, นิวเคลียร์หนัก	20

ทั้งนี้โดยที่เซลล์เนื้อเยื่อและอวัยวะต่าง ๆ แต่ละส่วนในร่างกายของสิ่งมีชีวิตนั้นมีปฏิกิริยาตอบสนองต่อรังสีแตกต่างกันไป ดังนั้นแม้มนุษย์ได้รับรังสีทั่วร่างกาย แต่ผลที่เกิดขึ้นต่ออวัยวะต่าง ๆ จะไม่เท่ากันตามร้อยละในตาราง 3

ตาราง 3 แสดงค่าตัวประกอบถ่วงน้ำหนักของผลกระทบจากรังสีที่มีต่ออวัยวะต่าง ๆ [18]

อวัยวะ	ตัวประกอบถ่วงน้ำหนักของอวัยวะ
อวัยวะลีบพันธุ์ (gonad)	0.20
ไขกระดูก (Bone Marrow)	0.12
ลำไส้ (Colon)	0.12
ปอด (Lung)	0.12
กระเพาะ (Stomach)	0.12
ถุงน้ำดี (Bladder)	0.05
หน้าอก (Breast)	0.05
ตับ (Liver)	0.05
หลอดอาหาร (Oesophagus)	0.05
ต่อมถั่วยอด (Thyroid)	0.05
ผิวนัง (Skin)	0.01
กระดูก (Bone surface)	0.01
อวัยวะอื่น ๆ (Remainder)	0.05

### 2.1.3 การได้รับรังสีของมนุษย์ [19]

มนุษย์สามารถรับรังสีที่เกิดในธรรมชาติ และสร้างสีที่มนุษย์เองประดิษฐ์ขึ้นโดยการนำไปทางบาดแผล การซึมผ่านผิวน้ำ รวมไปถึงการปนเนื้อน้ำจากน้ำและอาหารที่รับประทานเข้าไปจำนวนมากหรือน้อยเพียงใดนั้นขึ้นอยู่กับปัจจัยดังต่อไปนี้

- 1) อายุ
- 2) เพศ พบร่วมเพศหญิงได้รับรังสีมากกว่าเพศชาย เพราะมีการเจริญเติบโตเร็วกว่าและมีการกินมากกว่า
- 3) การกินอยู่
- 4) ถนนที่อยู่อาศัย
- 5) ประเภทของวัสดุที่นำมาปลูกสร้างที่อยู่อาศัย เช่น บ้านคอนกรีตนั้นจะได้รับรังสีมากกว่าบ้านไม้
- 6) ระบบความอบอุ่นและระบบการถ่ายเทอากาศภายในบ้าน

### 2.2 การ蜕变ของธาตุกัมมันตรังสี (Radioactive Decay) [20]

การ蜕变ของธาตุกัมมันตรังสี (Radioactive decay) เป็นกระบวนการเปลี่ยนแปลงของนิวเคลียสแบบเกิดขึ้นเอง ซึ่งการ蜕变อาจอยู่ในรูปแบบของการปลดปล่อยรังสีแลอฟ่า บีตา หรือแกมมารูปแบบไดรูปแบบหนึ่ง หรืออาจมากกว่านั้นซึ่งรูปแบบพร้อม ๆ กัน

ถ้า  $N$  คือจำนวนอะตอมของกัมมันตรังสี และ  $-\frac{dN}{dt}$  คือ อัตราการ蜕变ที่เวลา  $t$  ได้

โดยเครื่องหมายลบแสดงการเปลี่ยนแปลงในทางลดลงของจำนวนนิวเคลียสกัมมันตรังสี จะได้ความสัมพันธ์ดังนี้

$$-\frac{dN}{dt} \propto N \quad (2.1)$$

$$-\frac{dN}{dt} = \lambda N \quad (2.2)$$

$$\int_{N_0}^N \frac{dN}{N} = -\lambda \int_0^t dt \quad (2.3)$$

$$\ln \frac{N}{N_0} = -\lambda t \quad (2.4)$$

$$\frac{N}{N_0} = e^{-\lambda t} \quad (2.5)$$

จะได้

$$N = N_0 e^{-\lambda t} \quad (2.6)$$

เมื่อ  $N_0$  คือ จำนวนนิวเคลียร์กัมมันตรังสีที่เวลาเริ่มต้น  $t=0$  ,  $N$  คือ จำนวนนิวเคลียร์ กัมมันตรังสีที่เวลา  $t$  ได ๆ ,  $t$  คือ ระยะเวลาของการ��เสีย และ  $\lambda$  คือ ค่าคงตัวของการ��เสีย (decay constant) ซึ่งเท่ากับโอกาสของการ��เสียของนิวเคลียร์ต่อ s

### 2.3 ครึ่งชีวิต (Half life)

ครึ่งชีวิต (Half life),  $t_{\frac{1}{2}}$  หมายถึง ระยะเวลาที่ธาตุกัมมันตรังสีสลาย แล้วเหลือปริมาณ

เพียงครึ่งหนึ่งจากของเดิม จากสมการ (2.6)

$$N = N_0 e^{-\lambda t}$$

เมื่อเวลา  $t = t_{\frac{1}{2}}$  จะได้

$$\frac{N_0}{2} = N_0 e^{-\lambda t_{\frac{1}{2}}} \quad (2.7)$$

$$\frac{1}{2} = e^{-\lambda t_{\frac{1}{2}}} \quad (2.8)$$

$$\ln \frac{1}{2} = -\lambda t_{\frac{1}{2}} \quad (2.9)$$

$$-0.693 = -\lambda t_{\frac{1}{2}} \quad (2.10)$$

$$t_{\frac{1}{2}} = \frac{0.693}{\lambda} \quad (2.11)$$

## 2.4 กัมมันตภาพ (Activity), A

กัมมันตภาพ (Activity), A ของธาตุกัมมันตังสี หมายถึง อัตราการสลายของธาตุกัมมันตังสีหรือจำนวนของนิวเคลียดกัมมันตังสีที่สลายต่อหน่วยเวลา หน่วยของกัมมันตภาพ คือ เม็กเกอแรล (Becquerel), Bq ซึ่ง 1 Bq หมายถึง การสลาย 1 ครั้งต่อวินาที (disintegration per sec), dps แต่หน่วยของกัมมันตภาพที่นิยมใช้โดยทั่วไปคือ คูรี (Curie), Ci ซึ่งกำหนดจากการสลายของ  $^{226}Ra$  หนัก 1 g โดยมีค่าเท่ากับ  $3.7 \times 10^{10}$  dps กัมมันตภาพเป็นสัดส่วนกับจำนวนนิวเคลียดกัมมันตังสี ซึ่งเขียนความสัมพันธ์ได้ดังนี้

$$A \propto N$$

$$A = \lambda N$$

(2.12)

จากสมการ (2.12) เมื่อคูณตลอดด้วย  $\lambda$  จะได้

$$\lambda A = \lambda N_0 e^{-\lambda t}$$

(2.13)

ดังนั้น

$$A = A_0 e^{-\lambda t}$$

(2.14)

เมื่อ  $A_0$  คือ กัมมันตภาพที่เวลาเริ่มต้น  $t=0$ ,  $A$  คือ กัมมันตภาพที่เวลา  $t$  ได้ และ  $t$  คือ ระยะเวลาของการสลาย

อัตราการสลายหรือกัมมันตังสี (Activity), A ของการสลาย นิยมใช้เป็นหน่วย “คูรี” (Curie) เที่ยวนายเป็น Ci

กัมมันตภาพ 1 Ci หมายถึง สารกัมมันตังสีที่มีการสลาย  $3.7 \times 10^{10}$  dps หรือครั้งต่อวินาที ดังนี้

$$1 \text{ Ci} = 3.7 \times 10^{10} \text{ dps}$$

ซึ่งเท่ากับอัตราการสลายของเรเดียม-226 บริมาณ 1 g หน่วยอย่างของ Ci คือ

$$1 \text{ mCi} = 10^{-3} \text{ Ci}$$

$$1 \mu\text{Ci} = 10^{-6} \text{ Ci}$$

$$1 \text{ pCi} = 10^{-12} \text{ Ci}$$

ในปัจจุบันได้เปลี่ยนมาใช้หน่วย Bq และ dps โดยที่

$$1 \text{ Bq} = 1 \text{ dps}$$

และในหน่วยเอสไอโนิมเรียนหน่วย dps เป็น  $\text{s}^{-1}$  อย่างไรก็ตามหน่วย Ci ยังเป็นที่ใช้กันแพร่หลายอยู่ในปัจจุบัน ในบางครั้งค่าก้มมันตภาพรังสี จะบอกเป็นก้มมันตภาพต่อหน่วยน้ำหนัก หรือหน่วยปริมาตร เช่น Ci/g หรือ  $\mu\text{Ci}/\text{ml}$  เป็นต้น ซึ่งเราเรียกว่า “ก้มมันตภาพรังสี จำเพาะ (Specific activity)”

### 2.5. การสลายไฮแอลฟ่า (Alpha Decay) [1]

การสลายโดยการปลดปล่อยอนุภาคแอลฟ่าเป็นการสลายชนิดหนึ่งที่พบบ่อยในธรรมชาติโดยเฉพาะอย่างยิ่งกับธาตุหนักที่ไม่เสถียร

อนุภาคแอลฟ่าประกอบคำว่าไปรตองและนิวรอนอย่างละ 2 ตัว นิวเคลียสที่ปลดปล่อยอนุภาคแอลฟานี้เข้มแข็งจะลดลงไป 4 หน่วย ดังสมการด้านล่าง



หรือ



ถึงแม้ว่าพลังงานหักหมดที่เกิดจากการสลายของเรดอน-222 จะมีค่า 5.58 MeV แต่ว่า พลังงานจริงของอนุภาคจะมีค่าเท่ากับ 5.48 MeV เท่านั้น พลังงานที่เหลือ 0.10 MeV นั้นได้จ่ายให้กับ  ${}^{218}\text{Po}$  ถ้าไม่คำนึงถึงสัมพัทธภาพแล้วค่าพลังงานของนิวเคลียสที่กระเด้งกลับ  $K_d$  สามารถคำนวณได้จากกฎการคงตัวของพลังงานและผิวเมโนตัน พลังงานหักหมดที่ถ่ายทอดจากการปลดปล่อยอนุภาคแอลฟ่า

$$\begin{aligned} Q &= K_d + K_\alpha \\ &= \frac{1}{2}m_d v_d^2 + \frac{1}{2}m_\alpha v_\alpha^2 \end{aligned} \quad (2.17)$$

เมื่อ  $Q$  คือ พลังงานที่เกิดจากการสลาย (Disintegration energy),  $K_d$  คือ พลังงานจริงของนิวเคลียสลูก และ  $K_\alpha$  คือ พลังงานจริงของอนุภาคแอลฟ่า

เงื่อนไขของการถลายให้แอลฟ่า คือ มวลนิ่งของนิวเคลียสตั้งต้นจะต้องมากกว่าผลรวมของมวลนิ่งของนิวเคลียสลูกกับมวลนิ่งของอนุภาคแอลฟ่า และธาตุพ่อต้องเป็นนิวเคลียสที่มีมวลมาก ๆ,  $A \geq 200$

พลังงานจลน์ของอนุภาคแอลฟานำได้จากกฎการอนุรักษ์ของโมเมนตัม คือ

$$m_\alpha v_\alpha = m_d v_d \quad (2.18)$$

และ

$$\begin{aligned} Q &= K_d + K_\alpha \\ &= \frac{1}{2} m_d v_d^2 + \frac{1}{2} m_\alpha v_\alpha^2 \end{aligned} \quad (2.19)$$

เมื่อ  $V_d$  เป็นความเร็วของนิวเคลียสลูก และ  $V_\alpha$  เป็นความเร็วของอนุภาคแอลฟ่า

## 2.6 ทอรอน (Thoron) หรือ Rn-220 [21]

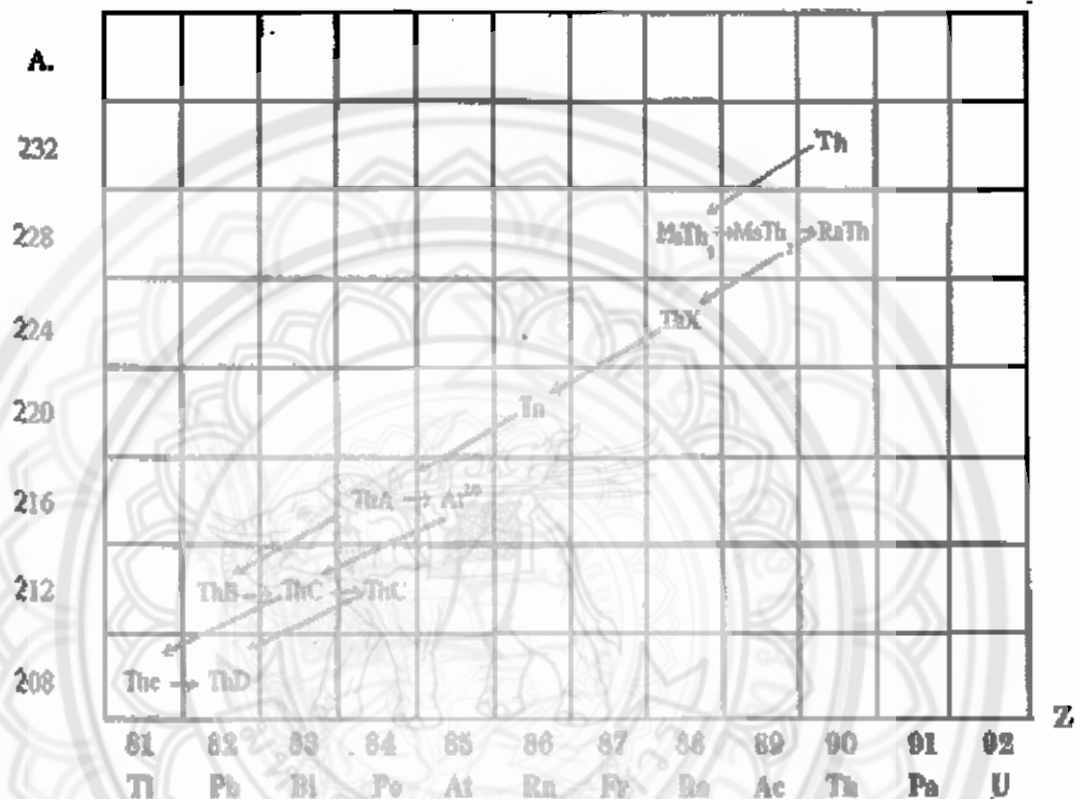
Rn-220 หรือที่เรียกว่า ทอรอน เป็นแก๊สกัมมันตรังสีที่ได้รับความสนใจเป็นอย่างมากในช่วงคืนน้ำหนึบโดยรักษาไว้ในร่องแก๊สทอรอนเป็นไอโซโทปของแก๊สเรดอน,  $^{220}\text{Rn}$ , มีครึ่งชีวิต 55.6 s และสามารถพุ่งกระจายไปในอากาศได้

การกำเนิดทอรอนในอนุกรมท่อเรียม-232 และผลผลิตสุดท้ายคือ ตะกั่ว-208 ซึ่งเป็นธาตุที่เสถียร ดูได้จากอนุกรมการถลายของท่อเรียมดังแสดงในตาราง 4 และภาพ 1

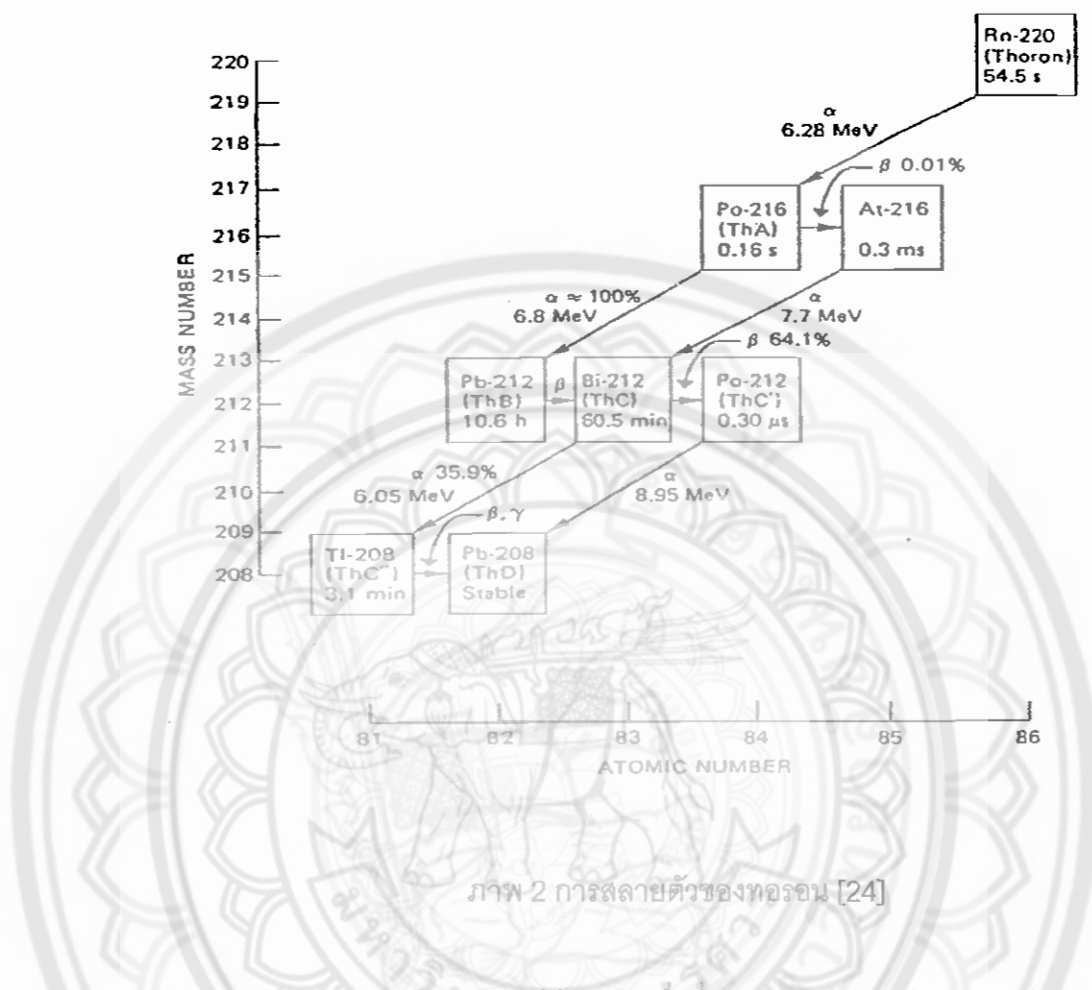
ตาราง 4 ลำดับการสลายของท่อเรียม [22]

ไอโซโทป	ชื่อเรียก	อนุภาคที่ปลดปล่อย	ครึ่งชีวิต
$^{232}_{90}\text{Th}$		$\alpha$	$1.40 \times 10^{10} \text{ y}$
$^{228}_{88}\text{Ra}$	(MsTh <sub>1</sub> )	$\beta$	5.76 y
$^{228}_{89}\text{Ac}$	(MsTh <sub>2</sub> )	$\beta$	6.13 h
$^{228}_{90}\text{Th}$	(RdTh)	$\alpha$	1.91 y
$^{224}_{88}\text{Ra}$	(ThX)	$\alpha$	3.66 d
$^{220}_{86}\text{Rn}$	(Thoron, Tn, Em)	$\alpha$	55.6 s
$^{216}_{84}\text{Po}$	(ThA)	$\alpha$	0.15 s
$^{212}_{82}\text{Pb}$	(ThB)	$\beta$	10.6 h
$^{212}_{83}\text{Bi}$	(ThC)	$\beta$	60.6 min
$^{212}_{84}\text{Po}$	(ThC')	$\alpha$	$3.0 \times 10^{-7} \text{ s}$
$^{208}_{82}\text{Pb}$	(ThD, lead)	แมกนี	เป็นผลผลิตสุดท้ายที่เสถียร

## อนุกรรมการสายเป็นไปดังภาพ 1

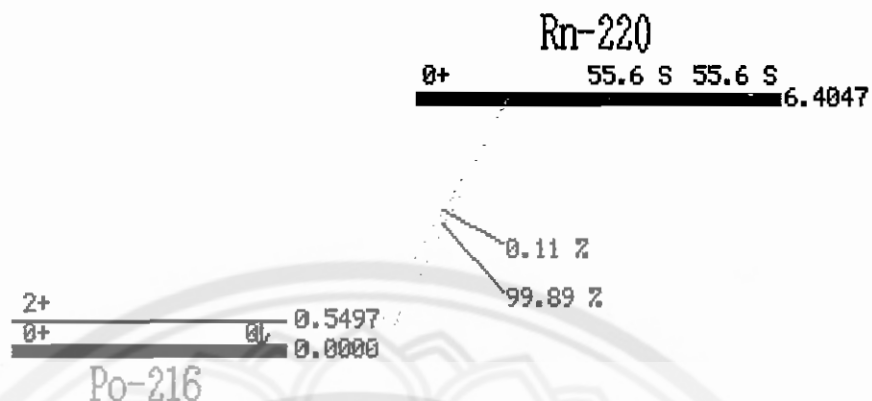


ภาพ 1 อนุกรรมการスタイルของหอเรียม [23]



ภาพ 2 การสลายตัวของ thoron [24]

แก๊ส thoron เป็นแก๊สกัมมันตรังสีอิเล็กทรอนิกส์ที่นักวิทยาศาสตร์ให้ความสนใจมาก และเริ่มมีการศึกษาข้อมูลเกี่ยวกับ thoron ในปี ค.ศ.1970 โดยพบว่า thoron เป็นสมาชิกในอนุกรม tho เรียมที่เป็นผลผลิตของ tho เรียม-232 คล้ายกับเรดอนที่เป็นสมาชิกในอนุกรมยูเรเนียมที่เป็นผลผลิตของยูเรเนียม-238 thoron มีสถานะเป็นแก๊สและไม่เสถียร ผุ้งกระเจาอยู่ในอากาศทั่วไป และปะปนอยู่ตามหิน ดิน หรายที่อยู่ในวัสดุก่อสร้าง สามารถถ่ายเทไปในบรรยายกาศได้ รวมทั้งภายในอาคารและภายนอกอาคารที่พักอาศัย เมื่othoron สลายตัวจะให้รังสีเอกซ์ฟ้า ที่มีพลังงาน 6.28 MeV โดยมีครึ่งชีวิตของการสลายที่ 55.6 s แล้วได้ผลิตผลเป็น พอกโลเนียม-216 (Po-216) และพอกโลเนียม-212 (Po-212) ซึ่งเป็นผลิตผลที่สำคัญต่อสุขภาพของมนุษย์ ร่างกายเราสามารถได้รับแก๊ส thoron จากธรรมชาติได้โดยการหายใจ ทั้งสองนิวเคลิดนี้เมื่อสลายตัวให้รังสีเอกซ์ฟ้าแล้ว จะทำให้เกิดการสะส茅อยู่ในอวัยวะการหายใจคือเนื้อเยื่อปอด และสร้างความเสียหายแก่นื้อเยื่อก่อให้เกิดโรคมะเร็งที่ปอดได้



ภาพ 3 แผนภาพระดับพลังงานการ蜕变ของทอรอน [25]

จากแผนภาพระดับพลังงานการ蜕变ของทอรอน ในภาพ 3 แสดงให้ทราบว่ารังสีเอกพาร์ของแก๊สทอรอนนั้น การเปลี่ยนแปลงของระดับพลังงานไม่ได้ไปสู่สถานะพื้นเลยที่เดียว แต่ยังไปสู่ระดับสถานะกระดับของนิวเคลียสสูง คือ ร้อยละ 99.89 ของทอรอน-220 ที่蜕变ตัวโดยตรงไปยังสถานะพื้นของ พโอลเนียม-216 โดยการปลดปล่อยอนุภาคเอกพาร์ของพลังงาน 6.28 MeV ออกมานอกจากนี้ที่อีกร้อยละ 0.11 ที่ปลดปล่อยรังสีเอกพาร์ออกมานอกจาก แต่ไม่ได้ไปสู่สถานะพื้นแต่ยังอยู่ในสถานะกระดับของ พโอลเนียม-216 ที่ระดับพลังงาน 0.5497 MeV และส่วนต่างของพลังงาน 0.597 MeV นี้จะถูกปลดปล่อยออกมานอกจากในรูปพลังงานอื่น ๆ [26]

ในปี ค.ศ.1990 ได้มีการศึกษาวิจัยเพื่อจัดความเข้มข้นแก๊สทอรอนในประเทศญี่ปุ่นพบว่าแก๊สทอรอนพบมากในบ้านที่มีการก่อสร้างด้วยไม้ ดินโคลนผสมซึ่งมีความเสี่ยงจากแก๊สทอรอนในอากาศที่พักอาศัยค่อนข้างมาก

ในประเทศจีนจะพบท่อเรียมในดิน ในวัสดุก่อสร้างบางพื้นที่ อิฐที่ทำจากพลาสติกถ่านหรือทำจากดิน ซึ่งเป็นวัสดุหลักที่ใช้ในการก่อสร้าง สิ่งเหล่านี้จะให้แก๊สทอรอนออกมานอกจากในอากาศที่พักอาศัยค่อนข้างมาก

## 2.7 ทอรอนจากไส้ตะเกียงเจ้าพายุ [27]

ตะเกียงเจ้าพายุและตะเกียงแก๊ส เป็นที่นิยมใช้ตามชนบทหรือในที่ไม่มีกระแสไฟฟ้าใช้ประจำ ไส้ตะเกียงเจ้าพายุนี้มีส่วนประกอบของสารกัมมันตรังสีอยู่ด้วยบางชนิด นั่นคือสารประกอบท่อเรียมออกไซด์ที่ชาบดีบนเส้นด้ายของไส้หลอดตะเกียง ซึ่งทำให้มีความคงทนต่อความร้อนและเปล่งแสงสว่างได้มากกว่าไส้หลอดธรรมดា ปริมาณกัมมันภาพในไส้หลอดดังกล่าว มีประมาณ 1-16 kBq และมีการปลดปล่อยแก๊สทอรอนออกมายังด้วย

## 2.8 อุปกรณ์ตรวจนับรอยแอลฟ่า (Alpha-Track Detector) [28]

อุปกรณ์ตรวจนับรอยแอลฟ่า ใช้หลักการที่ว่า เมื่อมีอนุภาคแอลฟ่าชนกับวัสดุจำพวกพลาสติกบางชนิดจะทำให้เกิดความเสียหายต่อพันธะทางเคมี (Chemical bonds) ซึ่งบริเวณที่เสียหายเหล่านี้สามารถตรวจพบได้เมื่อทำการกัดข่ายร่องรอยหลุมเล็ก ๆ ที่เกิดนั้นให้มีขนาดใหญ่ขึ้น มีการค้นพบว่า อนุภาคแอลฟ่าทำให้แผ่นสารอินทรีย์เซลลูโลสไนเตอร์ (Cellulose nitrate) และเซลลูโลสอะเซติเตตบิยเรต (Cellulose acetate butyrate) เป็นรอยและพบลักษณะเช่นนี้ในพลาสติกอื่น ๆ เช่น บิสฟีโนล-เอ โพลีคาร์บอเนต (Bisphenol-A polycarbonate) และอัลลิดิกลีคอกาลิโคร์บอเนต (Allyldiglycol carbonate) ในปัจจุบันวัสดุที่ใช้ทำอุปกรณ์เครื่องวัดชนิดนี้ทางการค้า ได้แก่ แผ่นฟิล์มเซลลูโลส ไนเตอร์ (LR-115), พลาสติกโพลีคาร์บอเนตหรือแผ่นมาโครฟอล (Makrofol), และพลาสติกโพลีแอลลิດิกลีคอกาลิโคร์บอเนต (Polyallyldiglycol carbonate) หรือมีตัวย่อ คือ PAD หรือ CR-39 เนماะสำหรับการใช้งานภาคสนามโดยทางอุปกรณ์นี้ไว้ให้ได้รับแก๊สทอรอนเป็นเวลานาน ๆ เป็นต้องเพื่อหาค่าเฉลี่ยของกวัตตระยะยาว ในการนำวัสดุนี้ไปใช้วัดแก๊สทอรอนมีวิธีการสองแบบคือ แบบไม่เจาะด้านข้างและแบบเจาะด้านข้างแล้วพันด้วยกระดาษกรองแบบพิเศษ ในกรณีแรกตัววัดพลาสติกจะได้รับแก๊สเดือนและแก๊สทอรอนไปพร้อม ๆ กัน ส่วนกรณีที่สองตัววัดพลาสติกจะได้รับแก๊สเดือนและกระดาษกรองแบบพิเศษนี้จะกรองถูกหลานของแก๊สทอรอน

## 2.9 การเกิดรอย (Track Formation Mechanism)

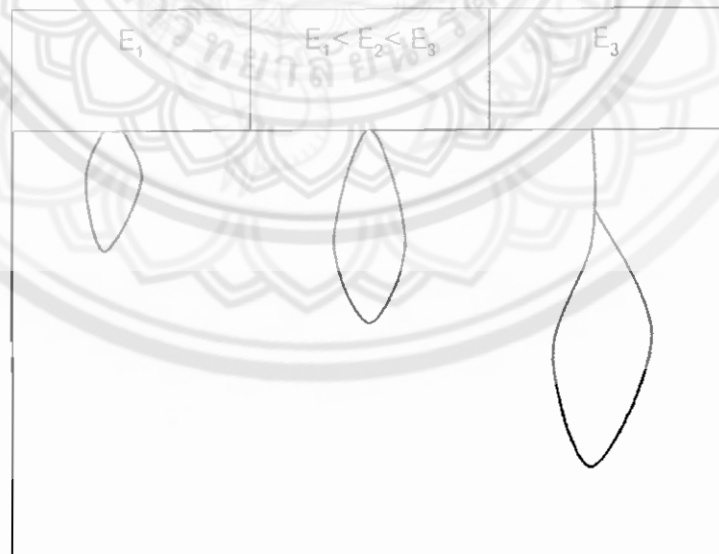
เมื่อมีอนุภาคที่มีประจุ เก็บ อนุภาคแอลฟ่าหรือนิวเคลียต์ของธาตุอื่นวิ่งผ่านเข้าไปในวัตถุของแข็งที่เป็นชนวน มันจะคายพลังงานให้แก่อะตอมของวัตถุตามทางที่เคลื่อนที่ไป ทำให้โครงสร้างของวัตถุในบริเวณที่เกิดไอโอดอนได้รับความเสียหายเกิดเป็นรอยขึ้นมา สำหรับวัตถุที่เป็นชนวนรอยจะปรากฏอยู่อย่างถาวร แต่รอยนี้จะเกิดขึ้นได้ก็ต่อเมื่อขั้ตราการสูญเสียพลังงาน  $\frac{dE}{dx}$  ของอนุภาคต่อวัตถุมีค่ามากกว่าอัตราการสูญเสียพลังงานวิกฤต (Critical energy loss)  $\left(\frac{dE}{dx}\right)_c$  เท่านั้น มิฉะนั้นจะไม่ปรากฏรอยเกิดขึ้น วัตถุแต่ละชนิดจะให้ค่า  $\left(\frac{dE}{dx}\right)_c$  ต่าง ๆ กัน วัตถุที่ให้ค่า  $\left(\frac{dE}{dx}\right)_c$  น้อย ๆ จะเกิดรอยกับนิวเคลีย (Light nuclei) นักฟิสิกส์ได้อธิบายกลไกการเกิดรอยในวัสดุตัวกลางไว้ 2 ทฤษฎี คือ

### 2.9.1 ทฤษฎีไออ่อนเอกซ์ไพร์สไปค์ (Ion Explosion Spike) [29]

เมื่อมีอนุภาคมีประจุวิ่งผ่านเข้าไปในวัสดุตัวกลางจะทำให้อะตอมเกิดการสั่น (Vibration) ซึ่งถ้าหากมีพลังงานเพียงพอจะทำให้อิเล็กตรอนหลุดออกจากวงโคจร (Ionization) เกิดประจุรอบ ๆ แนวที่อนุภาคเคลื่อนที่ผ่าน อะตอมที่มีประจุบวกเหล่านี้จะผลักกัน ทำให้อะตอมที่มีประจุเคลื่อนที่ไปเบียดกับอะตอมที่ถัดไปทำให้เกิดความเครียดขึ้น ความเครียดนี้จะแผ่กระจายไปยังอะตอมถัดไปทุกทิศทางทำให้ไม่เกิดจุดเรียงตัวกันใหม่เกิดความสมดุลและกลایเป็นช่องว่างเกิดขึ้นในบริเวณนั้นสามารถมองเห็นได้ด้วยกล้องจุลทรรศน์อิเล็กตรอน ดังแสดงในภาพ 2.4 ขบวนการนี้จะเกิดขึ้นได้กับสารจำพวกที่เป็นชนวน เช่น ไนโกร แอลพลาสติก เป็นต้น แต่ถ้าเป็นตัวกลางที่เป็นตัวนำที่ดี เช่น โลหะ อะตอมที่กลایเป็นไออ่อนบางดังกล่าวจะจับเอาอิเล็กตรอนจากบริเวณรอบ ๆ ทำให้อะตอมนั้นกลایเป็นกลางกลืนคืนสู่สภาพเดิมจึงไม่เกิดช่องว่าง

### 2.9.2 ทฤษฎีอิเล็กทรอนิกส์เทอร์มัลสไปค์ (Electronic Thermal Spike)

เมื่อมีอนุภาคมีประจุเคลื่อนที่ผ่านตัวกลางได้ จะมีความร้อนจากการที่วัสดุตัวกลางเป็นตัวนำความร้อนที่ดี ความร้อนที่เกิดขึ้นจะแผ่กระจายไปอย่างรวดเร็วทำให้บริเวณนี้มีอุณหภูมิสูงขึ้นมากพอที่จะทำให้โครงสร้างของตัวกลางในบริเวณนั้นถูกทำลายไปเป็นผลให้เกิดรอยรั่ว ดังภาพ 4



ภาพ 4 แสดงกลไกการเกิดรอยรั่ว

จากทฤษฎีทั้งสองที่กล่าวมาข้างต้น สรุปได้ว่าการเกิดรอยนิวัตฤทธิ์ทางล่างนั้นจะขึ้นอยู่กับปัจจัยที่สำคัญ 2 ประการ คือ

1. คุณสมบัติของอนุภาคที่ประจุ เช่น ชนิดพลังงาน และประจุของอนุภาค
2. คุณสมบัติของตัวกลาง เช่น ชนิดของวัสดุตัวกลางเป็นชนวนหรือตัวนำความร้อนหรือแรงยึดเหนี่ยวระหว่างอะตอมมากหรือน้อย เป็นต้น

ในการเกิดรอยนี้ขึ้นอยู่กับระดับพลังงานของอนุภาคมีประจุ อนุภาคมีประจุต้องถ่ายเทพลังงานให้วัสดุตัวกลางมากกว่าค่าพลังงานวิกฤต (Critical energy) ของวัสดุนั้นจึงจะปรากฏรอยขึ้น ดังนั้นการที่จะเกิดรอยหรือไม่นั้น ขึ้นอยู่กับชนิดและระดับพลังงานของอนุภาคมีประจุและชนิดของวัสดุที่ใช้

#### 2.10 ขอบเขตและพลังงาน (Range and Energy)

อนุภาคแหล่งไฟเมื่อหลุดออกจากแหล่งกำเนิด จะเคลื่อนที่ไปด้วยพลังงานเริ่มต้นค่าหนึ่ง ถ้าอนุภาคมีพลังงานเริ่มต้นสูง การเคลื่อนที่ผ่านเครื่องกีดขวาง เช่น อะตอมหรือโมเลกุลของสิ่งแวดล้อมก็จะเคลื่อนที่ไปได้ระยะไกล ซึ่งเราเรียกว่า พิสัย (Range),  $R$  ซึ่งพิสัยหรือขอบเขตของแหล่งไฟนี้จะขึ้นอยู่กับพลังงานและชนิดของสิ่งกีดขวาง อนุภาคแหล่งไฟมีประจุไฟฟ้าเป็นบวกเนื่องจากนิวเคลียร์ของอะตอมของยีเลี่ยมประกอบด้วย โปรตอนสองตัวและนิวตรอนสองตัว ดังนั้น อนุภาคแหล่งไฟจึงมีประจุไฟฟ้าบวก โดยมีประจุเป็นสองเท่าและน้ำหนักอะตอมเป็นสองเท่า อนุภาคแหล่งไฟเคลื่อนที่ด้วยความเร็ว ประมาณ  $19,200 \text{ km/s}$  หรือประมาณ 1 ใน 15 เท่า ของความเร็วแสงในสูญญากาศ

เนื่องจากอนุภาคนี้ค่อนข้างใหญ่ เมื่อเทียบกับอนุภาคชนิดอื่น มันจึงไม่สามารถทะลุผ่านเนื้อวัสดุง่ายเหมือนอนุภาคอื่น ๆ แต่จะสามารถถูกกันให้หยุดได้ โดยใช้กระดาษ 1 ชิ้น หรือ 2 ชิ้น โดยปกติเคลื่อนที่ได้ไม่ไกลเกินกว่า  $9 \text{ cm}$  ในอากาศเมื่ออนุภาคแหล่งไฟชนอะตอมหรือโมเลกุลของวัสดุให้ทำให้อิเล็กตรอนหลุดออกมาระเบิดให้เกิดไอออน

ในช่วงพลังงานต่ำ ๆ ที่ไม่ต้องคำนึงถึงช่วงสัมพันธภาพ พลังงาน ( $E$ ) ของอนุภาคแหล่งไฟจะสัมพันธ์กับความเร็วเริ่มต้น คือ

$$E = \frac{1}{2} m V_0^2 \quad (2.20)$$

เมื่อ  $m$  เป็นมวลของอนุภาคแอลฟ่า ใช้หน่วยเป็นกรัม  $V_0$  มีหน่วยเป็น cm/s และ  $V_0$  สัมพันธ์กับพิสัยในอากาศ ดังสมการที่ 2.21 คือ

$$V_0^2 = 1.03 \times 10^{27} R \quad (2.21)$$

ซึ่งได้ขوبเขตจำกัดเมื่ออนุภาคแอลฟ่ามีพลังงานต่ำในช่วงหนึ่งเท่านั้น คือ 4 ถึง 7 MeV ที่พลังงานต่ำกว่านี้และพลังงานสูงกว่านี้ เรายาพบว่า  $R \propto E^{\frac{3}{4}}$

เมื่ออนุภาคสูญเสียพลังงานของอนุภาคแอลฟ่าต่อระยะทางที่เพิ่มขึ้นน้อย ๆ ในสารตัวกันเรียกว่า กำลังหยุดยั้ง (Stopping power,  $-\frac{dE}{dx}$ ) อัตราส่วนระหว่างกำลังหยุดยั้งในอากาศต่อกำลังหยุดยั้งในของแข็งที่เป็นตัวกันเรียกว่า กำลังหยุดยั้งสัมพัทธ์ (relative stopping power) แต่ทั้งนี้อนุภาคแอลฟ่าต้องมีพลังงานสูงเดียว กัน

สมการที่แสดงให้เห็นพิสัยของอนุภาคแอลฟ่าในตัวกันที่เป็นของแข็งโดยประมาณได้มาจากการความสัมพัทธ์แบบ-คลีเมน (Bragg-Kleeman Relation) ดังนี้

$$R_s = \left( 3.2 \times 10^{-4} RA^{\frac{1}{2}} \right) / \rho \quad (2.22)$$

โดยที่  $R_s$  คือ พิสัยในของแข็งที่มีความหนา  $\rho$  และมีเลขมวล  $A$  และมีค่าพิสัยในอากาศเท่ากับ  $R$

สำหรับความสัมพันธ์ระหว่างพิสัยในอากาศกับเนื้อเยื่อของสิ่งมีชีวิตที่นักศึกษาและนักวิทยาศาสตร์การแพทย์สนใจ ประมาณค่าคร่าว ๆ ได้ดังสมการ (2.23)

$$R_{air} \rho_{air} = R_{tissue} \rho_{tissue} \quad (2.23)$$

## 2.11 ทฤษฎีแวร์-เอ็ทช์ (Track Etched Theory) [30]

### 2.11.1 กลไกการเกิดรอยในผลึก (Ion explosion spike model)

อาศัยหลักการเกิดสนามไฟฟ้า เมื่อจากความไม่สมดุลของประจุตามแนวที่อนุภาคเคลื่อนที่ผ่าน คือ เมื่อประจุเคลื่อนที่ผ่านเข้ามาในตัวกลาง จะถ่ายเทพลังงานให้กับอะตอมของตัวกลางซึ่งถ้าพลังงานมากพอ จะทำให้อิเล็กตรอนในวงโคจรหลุดออกไปเกิดประจุบวกชั่วขณะ

ทางที่อนุภาคเคลื่อนที่ ประจุเหล่านี้จะออกแรงผลักซึ่งกันและกัน ทำให้ต้องจัดเรียงอะตอมใหม่ เพื่อให้เกิดสมดุล จึงมีข้อง่วงเกิดขึ้นหรือเกิดรอยอนุภาคนั้นเอง

### 2.11.2 กลไกการเกิดรอยอนุภาคในโพลิเมอร์

กระบวนการที่สำคัญในการทำให้เกิดรอยอนุภาคในโพลิเมอร์ คือ กระบวนการไอออนไซร์ โดยการเกิดรอยอนุภาคในโพลิเมอร์นี้เกิดลักษณะโครงสร้างของโพลิเมอร์ ที่มีลักษณะเป็นลูกโซ่ที่เกิดจากการจับตัวกันของไฮดรคาร์บอนเป็นสายยาว เมื่อมีอนุภาคที่มีพลังงานวิ่งเข้าไปในโพลิเมอร์จะเกิดการไอออนไซร์เข้นทำให้สายโซ่ของพันธะถูกตัดขาดออกจากกันและทำให้น้ำหนักไม่เสียหายลดลงด้วย ดังนั้นทำให้ค่าอัตราการขยายรอยในบริเวณที่เกิดรอยอนุภาค ( $V_t$ ) มีค่าสูงกว่าอัตราการขยายรอยที่บริเวณไม่เกิดรอยอนุภาค ( $V_G$ )

### 2.11.3 กลไกการกัดขยายรอย

เนื่องจากรอยอนุภาคที่ได้จากการบันทึกในเวสต์นิดต่าง ๆ นั้นมีขนาดเล็ก ( $<50 \text{ } \mu\text{m}$ ) จึงได้มีการค้นคว้าวิจัยเพื่อทำการขยายขนาดรอยอนุภาคให้มีขนาดใหญ่ขึ้น จนกระทั่งในปี ค.ศ.1962 ไฟร์และอล์กเกอร์ได้ค้นพบว่ารอยอนุภาคสามารถขยายใหญ่ขึ้นได้โดยใช้กระบวนการกัดขยายขนาดรอยด้วยสารเคมี

การกัดขยายรอยขนาดรอยบนแผ่นพลาสติกขึ้นอยู่กับตัวแปร 2 ชนิด คือ

- อัตราการกัดผิว (Track etch rate),  $V_t$ , คือ อัตราการละลายของฟิล์มในทิศทางของรอยอนุภาคนิวเคลียร์ โดยคำนวณจากความชันของกราฟที่ระบุข้อมูลระหว่างเส้นผ่านศูนย์กลางของรอยอนุภาคกับเวลาที่ใช้ในการกัดขยายรอย

- อัตราการกัดผิวเชิงปริมาตร (Bulk etch rate),  $V_G$ , คือ อัตราการละลายของฟิล์มในบริเวณที่ไม่เกิดอนุภาคนิวเคลียร์โดยคำนวณได้จากความชันของกราฟที่ระบุข้อมูลระหว่างความยาวของรอยอนุภาคกับเวลาที่ใช้ในการกัดขยายรอย

ความสัมพันธ์ของค่าตัวแปร  $V_t$  และ  $V_G$  จะสามารถอธิบายได้โดยจะยกเป็นค่าตอบสนองการกัดผิว (Etching respond)

$(V_t/V_G)$  ดังนี้

ถ้า  $(V_t/V_G)$  มีค่ามาก หมายถึง รอยอนุภาคจะเป็นรูปกรวยแคบและยาว หรือ

$(V_t/V_G)$  มีค่าต่ำสุด คือเท่ากับ 1 หมายถึง ไม่มีการเกิดรอยอนุภาคขึ้นบนผิวของแผ่นฟิล์ม

ถ้านำเวลาที่ใช้ในการกัดขยายรอยมาเกี่ยวข้องกับตัวแปร  $V_t$  และ  $V_G$  จะสามารถบอกความสัมพันธ์ได้อีกเช่นกัน คือ

$V_t$  หมายถึง ระยะทางที่ผิวฟิล์มละลายออกตามแนวรอยอนุภาค

$V_{Gf}$  หมายถึง ระยะทางที่ผิวพิล์มละลายออกบวณผิวทั่วไป  
ค่า  $V_{rf}$  และ  $V_{Gf}$  จะเป็นค่าที่ปั้งบอกคุณสมบติเฉพาะของโพลิเมอร์แต่ละชนิดได้

## 2.12 ลักษณะของรอยอนุภาค

การเกิดรอยของอนุภาคบนแผ่นวัสดุบันทึกอยู่ในระดับที่แตกต่างกันออกไปทั้งนี้ขึ้นอยู่กับพลังงานของอนุภาคที่พุ่งเข้าชนวัสดุบันทึกอยู่นั้น ถ้าอนุภาคที่ชนมีพลังงานจำนวนมาก อัตราการสูญเสียพลังงานให้ตัวกลางก็จะน้อย แต่ถ้าอนุภาคมีพลังงานน้อย อัตราการสูญเสียพลังงานจะมากให้ตัวกลางก็จะมาก เช่น ถ้าใช้วัสดุตัวกลางเป็นเซลลูโลสในเดรต อนุภาคที่ทำให้เกิดรอยบนแผ่นตัวกลางชนิดนี้ได้มีพลังงานเฉลี่ยในช่วงต่ำกว่าหรือเท่ากับ 0.55 MeV แต่ถ้าอนุภาคไปรตองมีพลังงานมากกว่า 0.55 MeV พุ่งเข้าชนตัวกลางจะต้องรอให้ไปรตองนั้นเสียพลังงานบางส่วนก่อนจนกระทั่งเหลือ 0.55 MeV จึงจะทำให้เกิดรอยขึ้นบนตัวกลาง ดังนั้นรอยที่เกิดขึ้นจึงอยู่ต่ำลงไปอีกในแผ่นวัสดุตัวกลาง ดังภาพ 5



ภาพ 5 แสดงการเกิดรอยของอนุภาคบนวัสดุเมื่ออนุภาคมีพลังงานต่าง ๆ กัน

ก ๑๔  
๑๘/  
๖๓๔๗  
๒๕๕๐  
๒๐ พ.ย. ๒๕๕๐



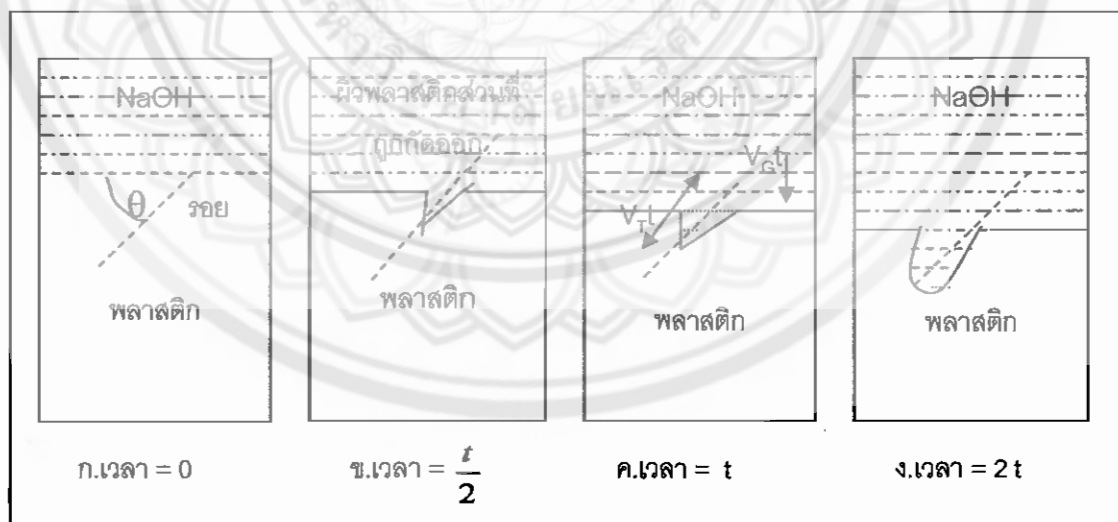
เมื่อนำแผ่นตัวกลางไปปักด้ายร้อยด้วยสารละลายที่เหมาะสม ก็จะปรากฏรอยขีนบน  
แผ่นวัสดุ ถ้าใช้เวลาในการกัดร้อยนานก็จะเห็นรอยของอนุภาคที่อยู่ลึกลงไปอีกระดับ และรอยที่  
อยู่ตื้นก็จะถูกลบเลือนไป

### 2.13 เทคนิคการขยายรอยให้โขลล์

รอยของอนุภาคที่ปักด้ายในตัวตุ่มของเห็บได้ต่อเนื่องดูด้วยกล้องจุลทรรศน์อิเล็กทรอน แม้มีร่องที่จะขยายรอยให้มีขนาดใหญ่ขึ้นจนสามารถมองเห็นได้โดยใช้กล้องจุลทรรศน์ธรรมชาติ ทำได้โดยนำวัตถุนั้นไปทำปฏิกิริยา กับสารเคมีบางชนิดที่เหมาะสม เรียกว่า นำไปกัดผิว (Etching) โดยเงื่อนไขของการทำปฏิกิริยาจะมีดังประกอบ 3 ตัว คือ

1. ความเข้มข้นของสารเคมีซึ่งอยู่ในรูปสารละลาย
2. อุณหภูมิในการทำปฏิกิริยา
3. เวลาในการทำปฏิกิริยา

สำหรับวัตถุที่เป็นแผ่นพลาสติก เมื่อนำไปทำปฏิกิริยากับสารละลายโซเดียมไฮดรอกไซด์ (Sodium hydroxide) NaOH ซึ่งเรียกว่า ขวนการกัดผิวและผิวพลาสติกที่ถูกกัดออกจะมีลักษณะทำปฏิกิริยาจะเป็นไปดังภาพ 6



ภาพ 6 แสดงลักษณะของผิวพลาสติกที่ถูกกัดขีนทำปฏิกิริยากับ NaOH

จากภาพ 6 ผิวพลาสติกบริเวณที่ไม่ได้ถูกทำให้เสียหายเป็นรอยๆถูกกัดออกโดยสารละลายโซเดียมไฮดรอกไซด์ ด้วยอัตราการถูกออก  $V_G$  และผิวพลาสติกบริเวณที่เสียหายเป็นรอยจะถูกกัดออกตามแนวรอยด้วยอัตราการถูกกัดออก  $V_t$  ถ้าเวลาในการทำปฏิกริยานานผิวพลาสติกถูกกัดออกจนถึงจุดสิ้นสุดของรอยแล้ว ปลายของรอยจะหู่ดังรูป.

ดังนั้น หลังจากการทำปฏิกริยาแล้ว ความยาว (Length) ของรอยที่มีองค์ประกอบนี้จะหายไปโดยติดไปกับผิวน้ำของแผ่นพลาสติกที่ถูกกัดออกไป ความยาวส่วนที่หายไป  $\Delta L$  จะเป็นไปตามสูตร ดังนี้

$$\Delta L = V_G t \csc \theta \quad (2.24)$$

เมื่อ  $t$  คือ เวลาในการทำปฏิกริยา และ  $\theta$  คือ มุมที่อนุภาคตกระบบแผ่นพลาสติก

มุมที่อนุภาคตกระบบแผ่นพลาสติกจะต้องมากกว่ามุมวิกฤต (Critical angle),  $\theta_c$  ไม่เช่นนั้นหลังจากกัดผิวแล้วจะไม่เห็นรอยขันเนื่องมาจากมุมตกระบบน้อยเกินไปทำให้อนุภาคเจิงกระเดิง (scattering) ออกไป แทนที่จะวิ่งเข้าไปในพลาสติกหรือทางที่อนุภาควิ่งผ่านอยู่ด้านก่อน ชนาณกับพลาสติกเจิงหลุดติดไปกับส่วนหน้าของผิวแก้วที่ถูกกัดออกไประหว่างการทำปฏิกริยาเคมีหรือรอยที่เกิดขึ้นด้าน外จากนั้นสามารถสังเกตเห็นได้

## 2.14 สูตรค่าตัวประกอบการปรับเทียบมาตรฐาน (Calibration Factor)

ในการปรับเทียบมาตรฐานครั้งนี้จะหาจากสมการ (2.25), (2.26) ซึ่งเป็นสมการของจำนวนรอยเรตตอนบนแผ่นพลาสติก CR-39 และสมการ (2.27), (2.28) บนซึ่งเป็นสมการของจำนวนรอยหอรอนบนแผ่นพลาสติก CR-39

### การปรับรับเรตตอน

$$A_{Rn} = Q_{Rn} CF_{Rn1} T_1 + Q_{Tn} CF_{Tn1} T_1 + B_1 \quad (2.25)$$

$$A_{Tn} = Q_{Rn} CF_{Rn2} T_1 + Q_{Tn} CF_{Tn2} T_1 + B_2 \quad (2.26)$$

### การปรับรับหอรอน

$$B_{Rn} = Q'_{Rn} CF_{Rn2} T_2 + Q'_{Tn} CF_{Tn2} T_2 + B_3 \quad (2.27)$$

$$B_{Tn} = Q'_{Rn} CF_{Rn2} T_2 + Q'_{Tn} CF_{Tn2} T_2 + B_4 \quad (2.28)$$

$A_{Rn}$  คือ จำนวนรอยที่เกิดจากเรดอน บนแผ่น CR-39/พื้นที่ มีหน่วยเป็น tracks/cm<sup>2</sup>

$A_{Tn}$  คือ จำนวนรอยที่เกิดจากทอรอน บนแผ่น CR-39/พื้นที่ มีหน่วยเป็น tracks/cm<sup>2</sup>

$B_{Rn}$  คือ จำนวนรอยที่เกิดจากเรดอน บนแผ่น CR-39/พื้นที่ มีหน่วยเป็น tracks/cm<sup>2</sup>

$B_{Tn}$  คือ จำนวนรอยที่เกิดจากทอรอน บนแผ่น CR-39/พื้นที่ มีหน่วยเป็น tracks/cm<sup>2</sup>

$Q_{Rn}$  คือ ความเข้มข้นแก๊สเรดอนที่ได้จากการปรับเทียบมาตรฐานเรดอนมีหน่วยเป็น Bq/m<sup>3</sup>

$Q_{Tn}$  คือ ความเข้มข้นแก๊สทอรอนที่ได้จากการปรับเทียบมาตรฐานทอรอนมีหน่วยเป็น Bq/m<sup>3</sup>

$Q'_{Rn}$  คือ ความเข้มข้นแก๊สเรดอนที่ได้จากการปรับเทียบมาตรฐานเรดอนมีหน่วยเป็น Bq/m<sup>3</sup>

$Q'_{Tn}$  คือ ความเข้มข้นแก๊สทอรอนที่ได้จากการปรับเทียบมาตรฐานทอรอนมีหน่วยเป็น Bq/m<sup>3</sup>

$CF_{Rn}$  คือ ประสิทธิภาพในการรับเรดอน มีหน่วยเป็น tracks/cm<sup>2</sup>/Bq/m<sup>3</sup> h<sup>-1</sup>

$CF_{Tn}$  คือ ประสิทธิภาพในการรับทอรอน มีหน่วยเป็น tracks/cm<sup>2</sup>/Bq/m<sup>3</sup> h<sup>-1</sup>

$T$  คือ เวลาที่ใช้ในการรับรังสี มีหน่วยเป็น h

$B$  คือ ค่าเบคก้าวเดียวของ CR-39 มีหน่วยเป็น tracks/cm<sup>2</sup>

เมื่อกำหนดให้  $CF_{Rn1}, CF_{Tn1}, CF_{Rn2}$  และ  $CF_{Tn2}$  เป็นตัวแปร คือ  $C, D, E$  และ  $F$  ตามลำดับ จะได้สมการ คือ

### สมการเมื่อเปิดรับเรดอน

$$A_{Rn} = Q_{Rn}CT_1 + Q_{Tn}DT_1 + B_1 \quad (2.29)$$

$$A_{Tn} = Q_{Rn}ET_1 + Q_{Tn}FT_1 + B_2 \quad (2.30)$$

### สมการเมื่อเปิดรับทอรอน

$$B_{Rn} = Q'_{Rn}ET_2 + Q'_{Tn}FT_2 + B_3 \quad (2.31)$$

$$B_{Tn} = Q'_{Rn}ET_2 + Q'_{Tn}FT_2 + B_4 \quad (2.32)$$

จาก (2.29) และ (2.30) ย้ายข้างสมการจะได้

$$\frac{A_{Rn} - B_1}{T_1} = Q_{Rn}C + Q_{Tn}D \quad (2.33)$$

$$\frac{A_{Tn} - B_2}{T_1} = Q_{Rn}E + Q_{Tn}F \quad (2.34)$$

$$\frac{B_{Rn} - B_3}{T_2} = Q'_{Rn}C + Q'_{Tn}D \quad (2.35)$$

$$\frac{B_{Tn} - B_4}{T_2} = Q'_{Rn}E + Q'_{Tn}F \quad (2.36)$$

กำหนดให้

$$K_1 = \frac{(A_{Rn} - B_1)}{T_1} \quad (2.37)$$

$$K_2 = \frac{(A_{Tn} - B_2)}{T_2} \quad (2.38)$$

$$K_3 = \frac{(B_{Rn} - B_3)}{T_3} \quad (2.39)$$

$$K_4 = \frac{(B_{Tn} - B_4)}{T_4} \quad (2.40)$$

ตามลำดับ จะได้สมการ

$$K_1 = Q_{Rn}C + Q_{Tn}D \quad (2.41)$$

$$K_2 = Q_{Rn}E + Q_{Tn}F \quad (2.42)$$

$$K_3 = Q'_{Rn}C + Q'_{Tn}D \quad (2.43)$$

$$K_4 = Q'_{Rn}E + Q'_{Tn}F \quad (2.44)$$

และ

$$C = CF_{Rn1} \quad (2.45)$$

$$D = CF_{Tn1} \quad (2.46)$$

$$E = CF_{Rn2} \quad (2.47)$$

$$F = CF_{Tn2} \quad (2.48)$$

ใช้กฎของครามเมอร์ (Cramer's Rule) ในการแก้สมการจากสมการ (2.41) คูณด้วย  $Q'_{Tn}$  และ สมการ (2.43) คูณด้วย  $Q_{Tn}$  จะได้

$$Q_{Rn}Q'_{Tn}C + Q_{Tn}Q'_{Tn}D = K_1Q'_{Tn} \quad (2.49)$$

$$Q'_{Rn}Q_{Tn}C + Q'_{Tn}Q_{Tn}D = K_3Q_{Tn} \quad (2.50)$$

สมการ (2.49) และ (2.50) จะได้

$$C = \frac{K_1Q'_{Tn} - K_3Q_{Tn}}{Q_{Rn}Q'_{Tn} - Q'_{Rn}Q_{Tn}} \quad (2.51)$$

และทำนองเดียวกันจะได้

$$D = \frac{K_3Q_{Rn} - K_1Q'_{Rn}}{Q_{Rn}Q'_{Tn} - Q'_{Rn}Q_{Tn}} \quad (2.52)$$

จากสมการ (2.42) คูณด้วย  $Q'_{Tn}$  และสมการ (2.44) คูณด้วย  $Q_{Tn}$  จะได้

$$Q_{Rn}Q'_{Tn}E + Q_{Tn}Q'_{Tn}F = K_2Q'_{Tn} \quad (2.53)$$

$$Q'_{Rn}Q_{Tn}E + Q'_{Tn}Q_{Tn}F = K_4Q_{Tn} \quad (2.54)$$

สมการ (2.53) และ (2.54) ได้

$$E = \frac{K_2Q'_{Tn} - K_4Q_{Tn}}{Q_{Rn}Q'_{Tn} - Q'_{Rn}Q_{Tn}} \quad (2.55)$$

และทำนองเดียวกันจะได้สมการ

$$F = \frac{K_4Q_{Rn} - K_2Q'_{Rn}}{Q_{Rn}Q'_{Tn} - Q'_{Rn}Q_{Tn}} \quad (2.56)$$

ดังนั้น จากสมการ (2.53), (2.54), (2.55), (2.56) จะได้สมการ

$$CF_{Rn1} = \frac{K_1 Q'_{Tn} - K_3 Q_{Tn}}{Q_{Rn} Q'_{Tn} - Q'_{Rn} Q_{Tn}} \quad (2.57)$$

$$CF_{Tn1} = \frac{K_3 Q_{Rn} - K_1 Q'_{Rn}}{Q_{Rn} Q'_{Tn} - Q'_{Rn} Q_{Tn}} \quad (2.58)$$

และทำนองเดียวกัน จะได้

$$CF_{Rn2} = \frac{K_2 Q'_{Tn} - K_4 Q_{Tn}}{Q_{Rn} Q'_{Tn} - Q'_{Rn} Q_{Tn}} \quad (2.59)$$

$$CF_{Tn2} = \frac{K_4 Q_{Rn} - K_2 Q'_{Rn}}{Q_{Rn} Q'_{Tn} - Q'_{Rn} Q_{Tn}} \quad (2.60)$$

หากค่า  $Q_{Rn}, Q_{Tn}, Q'_{Rn}$  และ  $Q'_{Tn}$  จากสมการ (2.41) (2.42) (2.43) และ (2.44) ใช้กับของค่า เมื่อรีบุครังแต่เปลี่ยนคู่สมการเป็น (2.41) กับ (2.42) และ สมการ (2.43) กับ (2.44) จาก (2.41) คูณด้วย  $F$  และสมการ (2.42) คูณด้วย  $D$  เมื่อ  $F$  และ  $D$  เป็นตัวแปรที่กำหนดขึ้น

$$CFQ_{Rn} + DFQ_{Tn} = K_1 F \quad (2.61)$$

$$EDQ_{Rn} + DFQ_{Tn} = K_2 D \quad (2.62)$$

จากสมการ (2.61) และ (2.62) จะได้

$$\begin{aligned} CFQ_{Rn} - EDQ_{Rn} &= K_1 F - K_2 D \\ Q_{Rn}(CF - ED) &= K_1 F - K_2 D \\ \therefore Q_{Rn} &= \frac{K_1 F - K_2 D}{CF - ED} \end{aligned} \quad (2.63)$$

ท่านองเดียวกัน

$$\therefore Q_{Tn} = \frac{K_2 C - K_1 E}{CF - ED} \quad (2.64)$$

จาก (2.43) คูณด้วย  $F$  และสมการ (2.44) คูณด้วย  $D$  เมื่อ  $F$  และ  $D$  เป็นตัวแปรที่กำหนดชี้น

$$CFQ'_{Rn} + DFQ'_{Tn} = K_3 F \quad (2.65)$$

$$EDQ'_{Rn} + DFQ'_{Tn} = K_4 D \quad (2.66)$$

จากสมการ (2.65) และ (2.66) จะได้

$$\begin{aligned} CFQ'_{Rn} - EDQ'_{Rn} &= K_3 F - K_4 D \\ Q'_{Rn}(CF - ED) &= K_3 F - K_4 D \\ \therefore Q'_{Rn} &= \frac{K_3 F - K_4 D}{CF - ED} \end{aligned} \quad (2.67)$$

ท่านองเดียวกัน

$$\therefore Q'_{Tn} = \frac{K_4 C - K_3 E}{CF - ED} \quad (2.68)$$

ดังนั้น สมการหาค่าท่อรอนจากการนำ CR – 39 วางในอาคารบ้านเรือน คือ

$$\therefore Q_{Tn} = \frac{K_2 C - K_1 E}{CF - ED} \quad (2.64)$$

เมื่อแทนค่าสมการ (2.64) ลงในสมการ (2.65) จะได้สมการ

$$\therefore Q_{Tn} = \frac{\left[ \left( \frac{A_{Tn} - B_2}{T_2} \right) (CF_{Rn1}) - \left( \frac{(A_{Rn} - B_1)}{T_1} \right) (CF_{Rn2}) \right]}{\left[ (CF_{Rn1})(CF_{Tn2}) \right] - \left[ (CF_{Rn2})(CF_{Tn1}) \right]} \quad (2.69)$$

สมการ (2.69) ที่ได้นี้ เป็นสมการที่นำไปใช้ในการหาค่าของความเข้มข้นของ thoron

## 2.15 อันตรายจากรังสี [31]

### อันตรายจากรังสี 4 แบบ คือ

2.15.1 ได้รับปริมาณรังสีทั้งตัวโดยทอยรับที่ละน้อยอย่างต่อเนื่องกัน กลุ่มคนที่ได้รับรังสีประเภทนี้ คือ บุคลากรที่ทำงานด้านรังสี ดังนั้นกลุ่มนักบุคคลดังกล่าวจะต้องทำงานภายใต้กฎระเบียบและการกำกับดูแลอย่างเคร่งครัด ต้องรู้จักหลักในการป้องกันอันตรายจากรังสี และรู้วิธีการตรวจวัด เพื่อให้ได้รับรังสีอยู่ในเกณฑ์ไม่เกิดอันตรายทั้งต่อตนเองและพันธุกรรม กฎระเบียบต่าง ๆ เหล่านี้เป็นมาตรฐานสากลกำหนดโดยองค์กรระหว่างประเทศ หลายองค์กรร่วมกัน ได้แก่ ICPR, IAEA และ WHO โดยทั่ว ๆ ไปบุคลากรในกลุ่มนี้จะถูกกำหนดให้ได้รับรังสีโดยใช้หลักการของ ALARA (As low as reasonably achievable) ทั้งนี้ เพราะในแต่ละประเทศจะมีความแตกต่างกันในด้านกำลังคน เทคโนโลยีและเศรษฐกิจ ซึ่งประเทศที่ร้ายแรงแล้วจะมีเทคโนโลยีสูงกว่า อาจกำหนดค่ากัดและการได้รับปริมาณรังสีไว้ต่ำกว่าประเทศที่กำลังพัฒนา แต่ทั้งนี้ทั่วโลกก็ต้องได้รับรังสีไม่เกิน 5 rem หรือ 50 mSv/y

2.15.2 ได้รับปริมาณรังสีสูงทั้งตัวแบบเฉียบพลัน ได้แก่ การได้รับรังสีจากกรณีอุบัติเหตุทางรังสี (ทั้งนี้ เพราะโดยการปฏิบัติงานปกติ จะไม่มีโอกาสเกิดอันตรายประเภทนี้) ตัวอย่างเช่น จากการที่หัวโคมอลต์ 60 ถูกยิงเพื่อนำเข้าตะกั่วที่หุ้มหัวเครื่องและแคปซูลไปภายในห้องกระเบิดของโรงงานผลิตงานนิวเคลียร์ในประเทศรัสเซียหรือการทิ้งระเบิดนิวเคลียร์ในประเทศญี่ปุ่นโดยสนธิสัญญาเมืองริกา เป็นต้น ผู้ป่วยที่ได้รับรังสีสูงแบบนี้จะเป็น 3 กลุ่ม คือ

กลุ่มที่ 1 ได้รับรังสีไม่เกิน 400 cGy อยู่ระหว่างสำคัญที่มีผลกระทบ คือ ไขกระดูกทั่วทั่วไป ดังนั้น จะก่อให้เกิดกลุ่มอาการทางโลหิตวิทยา (Haematological syndrome) ผู้ที่ได้รับรังสีจะมีอาการ อ่อนเพลีย นอนร่วง การทำงานของไขกระดูกลดน้อยลง ความดันโลหิตต่ำ และมีไข้จากการติดเชื้อได้ง่าย การตรวจวินิจฉัยจากประวัติดังกล่าวและการตรวจทางโลหิตวิทยาทั้งนี้ เพราะมีการต่ำลงของเม็ดเลือดขาว เม็ดเลือดแดง เกล็ดเลือด ความrunแรงจะมากหรือน้อยขึ้นอยู่กับปริมาณรังสีที่ได้รับ สภาพร่างกาย สภาพไขกระดูกก่อนได้รับรังสีของบุคคล การรักษาผู้ป่วยจะเป็นการรักษาตามอาการและการประคับประคอง เช่น ให้ผู้ป่วยพักผ่อน ให้เลือด ให้สารอาหาร ให้

ยาปฏิชีวนะ เป็นต้น และถ้ามีข้อบ่งชี้ก็อาจให้การรักษาโดยการปลูกถ่ายไขกระดูกผู้ป่วยในกลุ่มนี้ ถ้าได้รับรังสีน้อยกว่า 300 cGy มักจะดกลับคืนภาวะปกติภายใน 3-4 สัปดาห์ แต่ถ้าได้ปริมาณรังสี ตั้งแต่ 300 cGy ขึ้นไป มีโอกาสเสียชีวิตได้ประมาณร้อยละ 50

กลุ่มที่ 2 ได้รับปริมาณรังสีมากกว่า 400 cGy แต่น้อยกว่า 10,000 cGy ผู้ป่วยเกิด กลุ่มอาการจากความผิดปกติของอวัยวะในระบบทางเดินอาหาร เรียกว่า gastrointestinal syndrome ผู้ป่วยกลุ่มนี้นักจากจะมีอาการจากระบบทางเดินอาหารแล้วยังมีอาการทางระบบโลหิตวิทยาร่วมด้วย โดยมีอาการท้องเสียอย่างรุนแรงและไม่สามารถบรรเทาได้ด้วยการรักษา ในปัจจุบันร่วมกับการติดเชื้ออ่อนแรงผู้ป่วยทุกคนจะเสียชีวิตภายใน 2 สัปดาห์ การรักษาผู้ป่วย โดยการรักษาตามอาการและภาระคับประคอง เป็นต้น แต่คนไข้เสียชีวิตทุกคน

กลุ่มที่ 3 ได้รับรังสีตั้งแต่ 10,000 cGy ขึ้นไป ผู้ป่วยจะเสียชีวิตอย่างรวดเร็วอาจ ทันที โดยการศูนย์เสียการทำงานของสมองจึงเรียกกลุ่มนี้ว่า CNS syndrome คนไข้สูญเสียการ ทำงานของกล้ามเนื้อ ระบบหายใจ หัว สูญเสียความรู้สึกตัว หมัดสติและถึงแก่ชีวิต การรักษา พยาบาลเป็นการรักษาตามอาการและภาระคับประคอง คนไข้จะเสียชีวิตทุกคน เช่นกัน

2.15.3 ได้รับรังสีปริมาณน้อยเฉพาะที่ແ mennะยะเวลาจำกัดกลุ่มผู้ได้รับรังสีระดับนี้ เป็นผู้ป่วยซึ่งได้รับการรักษาโดยอื่นไม่ใช่โรคมะเร็ง ตัวอย่างเช่น การฉายรังสีรักษาโรคปานแดงในเด็ก การฉายรังสีป้องกันการเกิดแผลเป็น การรักษาโรคคoccoพอกเป็นพิษด้วยน้ำแร่ เป็นต้น การรักษา วิธีการนี้เกิดผลข้างเคียงน้อยที่สุดเพื่อจะให้ปริมาณรังสีน้อยมากแต่ในระยะเวลากว่านานมาก (มัก เกิน 5 y ขึ้นไป) จะเป็นสาเหตุของโรคมะเร็งในบริเวณที่ได้รับรังสีได้ โอกาสเกิดโรคมะเร็งจาก สาเหตุนี้น้อยมากจนไม่สามารถประเมินเป็นปอร์เซ็นต์ได้ เพียงแต่ให้หลักการพยากรณ์ว่าอาจเป็น สาเหตุได้เท่านั้น

2.15.4 ได้รับรังสีปริมาณสูงเฉพาะที่แต่ในระยะเวลาจำกัดซึ่ง ได้แก่ การให้รังสีรักษา ในโรคมะเร็งด้วยเทคโนโลยีในปัจจุบัน สามารถกำหนดขอบเขตของลำรังสีและวิธีการให้รังสีได้ สามารถพยากรณ์ความทนได้ของอวัยวะต่อรังสีและแพทย์ทราบถึงองค์ประกอบต่าง ๆ ที่จะทำให้ คนไข้ไวต่อรังสีเพิ่มขึ้น ดังนั้น การให้รังสีรักษาจึงมีผลข้างเคียงอยู่ในเกณฑ์ที่คนไข้ยอมรับได้และ ยังมีคุณภาพชีวิต ผลข้างเคียงจากการรังสีจะปรากฏในรูปแบบของการอักเสบของเนื้อเยื่อหรืออวัยวะ เอกพาะบบริเวณที่ได้รับรังสีเท่านั้น ดังนั้น อาการของคนไข้จะเป็นการอักเสบเฉพาะที่ ตัวอย่างเช่น ถ้า ฉายรังสีบริเวณช่องปาก จะมีการอักเสบของเยื่อบุช่องปาก คนไข้จะมีอาการเจ็บในปากและลำคอ อาการจะมากหรือน้อยขึ้นอยู่กับเนื้อที่และปริมาณการฉายรังสี ปริมาณรังสีและอายุของผู้ป่วย สภาพร้ายกายและอื่น ๆ ผลข้างเคียงจากการรักษาด้วยรังสีนี้คือ การรักษาตามอาการ [32]

และการประคับประ conscion ในผู้ป่วย ซึ่งแพทย์พยากรณ์ว่าอาจมีผลร้างเคียงจากการฉายรังสีสูงเกินไป แพทย์จะพิจารณาลดปริมาณรังสีลง แต่จะเปลี่ยนมาเป็นการให้รังสีร่วมกับวิธีการรักษาอื่น ๆ เช่น การผ่าตัด ยาสารเคมี หรือชอร์โนน เป็นต้น

## 2.16 งานวิจัยที่เกี่ยวข้อง

Qiuju GUO et al. [33] ได้ทำการศึกษาเกี่ยวกับแก๊ส thoron จากสีพื้นที่ในประเทศไทย คือ Beijing, Guangzhou, Zhuhai และ Pingliang โดยวิธีการข่านรอย (Track) จาก CR-39 ที่ติดตั้ง เป็นเวลา 3 เดือน

ผลที่ได้พบแก๊ส thoron สูงคือ Guangzhou, Zhuhai ซึ่งได้ศึกษาปัจจัยที่ทำให้แก๊สเรดอน มีปริมาณสูงโดยกำหนดจากลักษณะชนิดของบ้าน 3 ลักษณะ คือ บ้านที่ทำจากอิฐ คอนกรีต และ ทำจากอิฐที่ทำจากถ่านหิน ทั้งนี้อาจมีเรื่องของฤดูกาล ลักษณะการก่อสร้างของอาคารที่พักอาศัย หรือความชื้นของอากาศด้วย

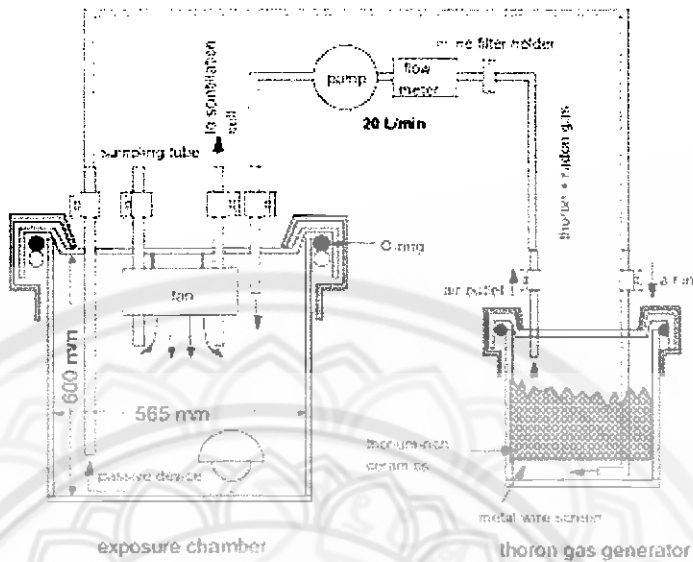
K.Kozak et al. [34] ได้ทำการศึกษาเกี่ยวกับแก๊ส thoron ( $Rn-220$ ) ในธรรมชาติที่มีส่วนคล้ายกับแก๊สเรดอน ( $Rn-222$ ) เมื่อจากมีการสลายในช่วงเวลาที่ตั้นมาก แต่ย่างไรก็ตามผลกระแทบไม่พื้นที่ที่มีแก๊ส thoron สูงนั้นมีความสำคัญมาก

วิธีการวัดแก๊ส thoron โดยทั่วไปจะได้ค่าที่น้อย จึงได้มีการวัดที่เป็นแบบรวดเร็วขึ้น คือ วิธี Two ionization chambers AlphaGUARD PQ200 by Genitron GmbH

เป็นวิธีการวัดที่ใช้ช้อนรีน มี 2 แบบ คือ แบบการกระจายและแบบการไอลเวียน โดยมี การร่วมนึกกับมหาวิทยาลัยของเชลิเชีย (Silesia) ซึ่งได้ทำการทดสอบใช้ค่าเรเดอน  $600\text{-dm}^3$  ในการปรับเทียบและใช้ แหล่งกำเนิด thoron ไฟล่อน (Pylon thoron source) และใช้เครื่องมือวัด RAD7 วัดค่า

หลักสำคัญคือ การใช้เครื่องมือเฉพาะในการร่วบรวมและการปล่อยรังสีแอลฟ่า เพื่อให้ได้ ความถูกต้องแม่นยำสูง จากที่ทำการทดลองของย่างต่อเนื่องพบว่า ผลที่ได้สามารถนำไปใช้ในการวัดค่าแก๊ส thoron ที่เกิดขึ้นในช่วงเวลาสั้น ๆ และได้ข้อมูลที่มีความละเอียดสูง

Shinji Tokonami et al. [35] ได้ทำการศึกษาเกี่ยวกับแก๊ส thoron โดยใช้ระบบแซนเบอร์ ซึ่งประกอบด้วย 2 ส่วน คือ แซนเบอร์สำหรับเปิดรับรังสี (expost chamber) และตัวให้กำเนิดแก๊ส thoron (Thoron gas generator) ดังภาพ 7



ภาพ 7 การศึกษาเกี่ยวกับแก๊ส thoron ของชนิด โลไนมิ, เกาะ เช้า, มาซูไอร์ พูดา วา และยุจิ ยามาดะ

โดยให้แก๊ส thoron ในดีจากแหล่งกำเนิด thoron หลังจากที่เขื่อมต่อ กับแซนเบอร์ เปิดรับรังสี (expost chamber) และเครื่องมือวัด ให้แก๊ส thoron ไหลเวียนโดยระบบปั้ม 20 l/min ใช้เวลา 4 d ได้ค่าเฉลี่ยแก๊ส thoron  $2530 \text{ Bq/m}^3$  และได้ค่าเฉลี่ยแก๊สเรดอน  $230 \text{ Bq/m}^3$  จากการศึกษาทำให้ได้ค่าของแก๊ส thoron และแก๊สเรดอนตามตาราง 5

### ตาราง 5 ข้อมูลที่ได้จากการทำการทดลอง

เครื่องมือวัด	เรดอน (tracks/mm <sup>2</sup> /(Bq/m <sup>3</sup> -d))	ทอรอน (tracks/mm <sup>2</sup> /(Bq/m <sup>3</sup> -d))
German monitor (CR-39)	$10.14 \times 10^{-4}$	$4.51 \times 10^{-4}$
Radon-Thoron discriminative dosimeter (upper hemisphere)	$2.40 \times 10^{-4}$	$1.22 \times 10^{-4}$
Radon-Thoron discriminative dosimeter (lower hemisphere)	$2.82 \times 10^{-4}$	$0.26 \times 10^{-4}$
Electrostatic integrating Radon-222 monitor	$189.4 \times 10^{-4}$	No sensitivity

ไกวิทย์ ณ นคร [36] ได้ศึกษาเกี่ยวกับระดับความเข้มข้นไอโตรังสีที่มีครึ่งชีวิตสั้นที่เกิดจากการสลายของเรดอนและทอรอนภายในและภายนอกอาคาร เพื่อศึกษาความสามารถตรวจรู้งานสำหรับการวัดระดับความเข้มข้นของผลผลิตครึ่งชีวิตสั้นที่เกิดจากการสลายของแก๊สเรดอนและแก๊สทอรอน และศึกษาการวัดระดับความเข้มข้นผลผลิตครึ่งชีวิตสั้นที่เกิดขึ้นจากการสลายของแก๊สเรดอนและแก๊สทอรอนที่มีอยู่ในอากาศห้องภายในและภายนอกอาคาร และเพื่อมีไว้ซึ่งข้อมูลระดับมูลฐาน ซึ่งถือว่าเป็นข้อมูลที่สำคัญทางวิทยาศาสตร์

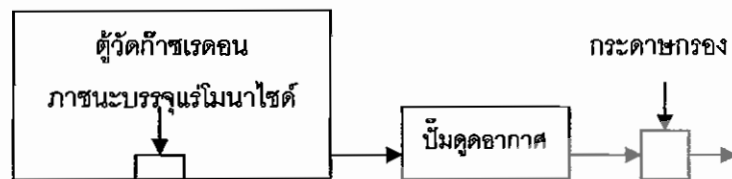
วิธีทำการวิจัยโดยคุณอากาศผ่านกระดาษกรองเป็นเวลา 60 min ในระหว่างนั้นจะบันทึกอุณหภูมิ ความชื้นสัมพัทธ์และความดันอากาศ ตรวจสอบประสิทธิภาพและวัดค่าแบคกราวด์ (background) ของเครื่องมือ เพื่อให้แน่ใจว่าอยู่ในสภาพปกติพร้อมที่จะดำเนินการวัดได้

ผลที่ได้ คือ ภายในอาคารมีความเข้มข้นของผลผลิตครึ่งชีวิตที่เกิดจากการสลายของแก๊สเรดอนและแก๊สทอรอนมากกว่าภายนอกอาคาร ที่เป็นดังนี้พอกลับไปได้ว่า การหมุนเวียนของอากาศภายในห้องไม่ดีเท่าภายนอกห้อง เพราะจะนั่นภายในห้อง แก๊สเรดอนและแก๊สทอรอนก็จะไม่พุ่งกระจายเหมือนภายนอกห้อง

จรัญ พรมสุวรรณ [37] ได้ทำการวิเคราะห์ยูเรเนียมโดยการสังเกตระยะของอนุภาคแอลฟ่า บนแผ่นพลาสติก การดำเนินการโดยนำแผ่นเซลลูลอส อาร์เจท ไปรับอนุภาคแอลฟ้าจากเรตอง-222 ที่ฟังกระเจยออกมายากางผงตัวอย่างที่มียูเรเนียมเจือปนที่ระยะห่างจากผงตัวอย่าง 10 cm ภายในครอบแก้ว เป็นเวลา 30 d หลังจากนั้นนำเซลลูลอส อาร์เจท มากัดผิวด้วยสารละลายโซเดียมไฮดรอกไซด์ NaOH ความเข้มข้น 6 N อุณหภูมิ 70 °C เป็นเวลา 36 min แล้วนับรอยที่เกิดขึ้นโดยการส่องดูด้วยกล้องจุลทรรศน์ หากปริมาณยูเรเนียมได้โดยการเปรียบเทียบจำนวนรอยกับของผงสารมาตรฐานและเปรียบเทียบปริมาณยูเรเนียมที่หาได้จากการวิหेगมมาสเปคตรอมิตรี ผลที่ได้ปรากฏว่าให้ความแตกต่างอยู่ระหว่างร้อยละ 10-20 นอกจากบางตัวอย่างที่มีทองเริ่มปนอยู่ผลการวิเคราะห์นี้ให้ความแม่นยำพอใช้ได้

ไฟชูร์ย์ วรรณะพงษ์ และคณะ [38] ได้ทำการสำรวจระดับแก๊สรे�ตองด้วยอุปกรณ์บันทึกรอยอนุภาคแอลฟ่า ซึ่งได้รับอุปกรณ์แบบนับรอยอนุภาคแอลฟ่า (Alpha-track detector) เป็นอุปกรณ์การนับรอย ได้กระทำขึ้นในช่วงปี พ.ศ. 2544-2545 โดยเลือกแหล่งที่มีความสำคัญสามแหล่ง ได้แก่ ที่อ้าภาณุเรือง จังหวัดขอนแก่น, อ้าภาณานม่อม จังหวัดสงขลาและอ้าภาณารักษ์ จังหวัดเชียงใหม่ พนบว่าระดับความเข้มข้นแก๊สรेतองที่อ้าภาณานม่อม จังหวัดสงขลา มีแนวโน้มสูงกว่าจุดสำรวจอื่นๆ

สกนธิ รัตนบุญยaph [39] ได้ทำการประเมินค่ากัมมันตรังสีในอากาศเนื่องมาจากธาตุจุกของทอรอนในบริเวณที่มีปริมาณธาตุจุกของทอรอน จากแร่โมนาไซด์แตกต่างกัน โดยใช้ตู้วัดแก๊สรेतอง ขนาดกว้าง 0.667 m สูง 0.417 m และมีน้ำหนัก 424.13 g ความหนาแน่น 3.167 g/cm<sup>3</sup> ปั๊มดูดอากาศ กระดาษกรองและแผ่นตรวจนับแอลฟ่า (Alpha counter) ประสิทธิภาพร้อยละ 47 เริ่มจากเปิดฝาภาชนะบรรจุแร่โมนาไซด์และวางไว้ในตู้วัดแก๊สรेतอง 1 d จากนั้นใช้ปั๊มดูดอากาศผ่านกระดาษกรองด้วยอัตราการไหลผ่าน 4 l/min เป็นเวลา 1 h จะได้ขึ้นตอนการทดลองดังภาพ 8



ภาพ 8 ขั้นตอนการทดลองวัดค่าท่อรอบในบริเวณที่มีปริมาณธาตุลูกของท่อรอบจากเรโนนาไชร์แยกต่างกัน โดยใช้ตู้วัดแก๊สเรดอน

เมื่อครบ 1 h นำกระดาษขาวที่ผ่านการดูดอากาศมาทำการนับวัดด้วยแผ่นตรวจบัญชี [ZnS(Ag)] ด้วยเครื่องวัด Pylon AB-5 ครั้งละ 5 นาที เป็นเวลา 22 h และนำค่าอัตราที่นับได้มารังสรรค์แสดงความสัมพันธ์ระหว่างเวลาอับเชื่อตราชาระนับเพื่อแสดงผล ผลที่ได้จากการวัด 2 ชั่วโมง

ช่วงแรก นับวัดตั้งแต่เริ่มต้นจนถึงเวลา 300 min ได้ค่า WL (Working level) = 1.1207

ช่วงหลัง นับวัดหลังจากที่ปิดฝาภาชนะบรรจุเรโนนาไชร์ไว้ เป็นเวลา 4 d ได้ค่า

$$WL = 0.0029 \text{ ชั่วโมง} \text{ ได้ค่าต่ำกว่ามาตรฐาน คือ } WL = 1.2$$

จากการทดลองและผลที่ได้แสดงให้เห็นถึงความแตกต่างของค่า WL ในแต่ละสภาวะ แวดล้อมที่แตกต่างกัน คือในบริเวณที่มีกิจกรรมหรือการทำงานที่เกี่ยวข้องกับวัตถุดิบที่มีส่วนประกอบของธาตุเหล็ก-232 และไม่มีการป้องกันที่ดีจะมีค่า WL สูงกว่าในบริเวณที่มีกิจกรรมหรือการทำงานที่เกี่ยวข้องกับวัตถุดิบที่มีส่วนประกอบของธาตุเหล็ก-232 ซึ่งมีการป้องกันที่ดี และสภาวะแวดล้อมทั่วไปมาก